

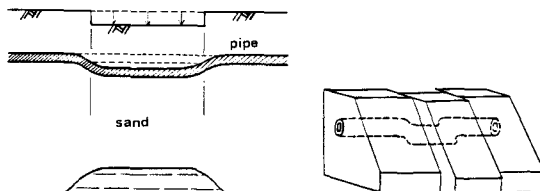
III-111 地盤の部分的変形による埋設管路断面力の簡易計算法

—— 凸型地盤変形の場合 ——

日本钢管㈱技術研究所 正員 ○関 口 宏二
日本钢管㈱技術研究所 正員 大 石 博

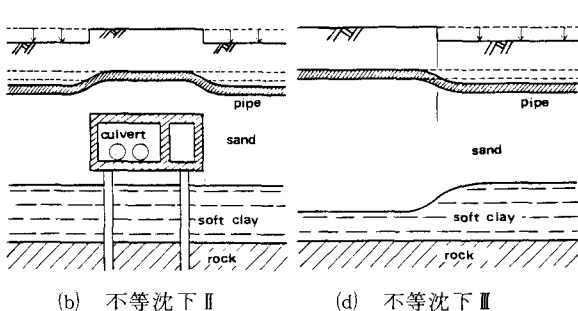
1 はじめに

地盤の不等沈下あるいは斜面の辺り出しなどによって、埋設管路が影響を受ける事例は多い。図1にその具体例を示す。図中(a), (b), (c)は部分的な地盤変形が生じているが、このような場合は、図2のような、凸型地盤変位モデルによって、埋設管路の変形・発生断面力などを推定することができる。図2においては、 ℓ は地盤が変形する部分の幅(以後、地盤変形幅と呼ぶ)を、 δ は地盤変位量を表わしている。図1(d)のような場合は、地盤変形幅 ℓ を無限大とみなした場合と等価である。



(a) 不等沈下 I

(c) 斜面の辺り出し



(b) 不等沈下 II

(d) 不等沈下 III

図1 埋設管に及ぼす地盤変形の影響

2 断面力の簡易計算式

埋設管路～地盤系を弾性支承上の梁と仮定すれば凸型地盤変位モデルにおける、管の変形・曲げモーメントなどは、解析的に求めることができる。図2の座標系を用いると、管の変位 u 、曲げモーメント M は以下のようなになる。左右対称モデルなので、 $\ell < x$ の場合を省略する。

$$u = \begin{cases} \frac{\delta}{2} \cdot \{ e^{\beta x} \cos \beta x - e^{\beta(x-\ell)} \cos \beta(x-\ell) \}, & x < 0 \\ \delta - \frac{\delta}{2} \{-e^{-\beta x} \cos \beta x + e^{\beta(x-\ell)} \cos \beta(x-\ell)\}, & 0 \leq x \leq \ell \end{cases} \quad \dots \dots \dots (1)$$

$$M = \begin{cases} \delta EI \beta^2 \{ e^{\beta x} \sin \beta x - e^{\beta(x-\ell)} \sin \beta(x-\ell) \}, & x < 0 \\ \delta EI \beta^2 \{ e^{-\beta x} \sin \beta x - e^{\beta(x-\ell)} \sin \beta(x-\ell) \}, & 0 \leq x \leq \ell \end{cases} \quad \dots \dots \dots (2)$$

ここに、 $\beta = (K_y / 4EI)^{1/4}$ 、 K_y ：管の単位長あたりの地盤ばね定数、 E ：管材料のヤング係数、 I ：管の断面二次モーメントである。

3 計算例

表1に示す炭素鋼钢管のうち、 $600A^*$ に関して、地盤変形幅 ℓ と地盤ばね定数 K_y をパラメータとして、曲げモーメント分布図を図3に示す。ただし、 K_y は単位面積あたりの地盤ばね定数である。単位長あたりの地盤ばね定数 K_y は、 K_y と管の外径 D の積として求めた。図3より、地盤変形幅 ℓ が $20m$ より大きいと、地盤くい違い部近傍の管の挙動は、一方のくい違い部のみの影響を受け、くい違い部から $3 \sim 4m$ の位置に最大曲げモーメントが発生する。地盤変形幅 ℓ が $10m$ では、左右両側のくい違いの影響を受けて、地盤変形の中央

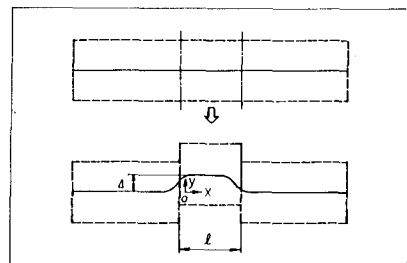


図2 凸型地盤変位モデル

表1 炭素鋼钢管の諸元

管の呼び方	管 径 $D(\text{mm})$	厚 度 $t(\text{mm})$	断面積 $A(\text{cm}^2)$	断面二次モーメント $I(\text{cm}^4)$
100A	114.3	4.5	15.52	234
200A	216.3	5.8	38.56	$2(3 \times 10^6)$
300A	318.5	6.9	67.55	820×10^6
600A	609.6	9.5	179.10	806×10^6
600A*	609.6	12.7	238.20	106×10^6

部で最大曲げモーメントが発生している。

また、その大きさは、 ℓ が20m以上の場合よりも大きい。

図4は地盤変形幅 ℓ によって、管に生じる最大曲げモーメントがどのように変化するかを、地盤ばね定数 ky をパラメータとして示したものである。図4を用いれば、任意の地盤変形幅 ℓ 、地盤変形量 A 、地盤ばね定数 ky に関して、最大曲げモーメントを知ることができる。これによると、曲げモーメントが最大となる地盤変形幅 ℓ^* が存在することがわかる。また ℓ^* の2倍以上の地盤変形幅になると最大曲げモーメントは、ほぼ一定値に収束し、最大値の $1/2$ になる。

曲げモーメントが最大となる地盤変形幅 ℓ^* と、そのときの最大曲げモーメント M_{max} は式(2)より、次のように与えられる。

$$\ell^* = \frac{1}{2} \frac{\pi}{\beta} \dots (3), M_{max} = \sqrt{2} e^{-\frac{\pi}{4}} A \beta^2 EI \dots \dots (4)$$

表1に示した、種々の炭素鋼钢管に関して、単位地盤変位あたりの最大曲げ応力を、図5に示す。なお、最大曲げ応力は、式(4)の最大曲げモーメントより換算したものである。地盤変形幅 ℓ が予測できない場合には、最悪の状態を想定し、このような図を用いることも有用であろう。図6には、最大曲げモーメントを発生させる地盤破壊幅 ℓ^* を、地盤ばね定数 ky をパラメータとして示す。管径が小さい程、 ℓ^* は小さくなる。

4 むすびに

地盤ばねは実際には非線形性を示すが、本文では等価な線形ばねを仮定している。地盤ばね定数 ky の適切な評価方法は、今後の課題である。

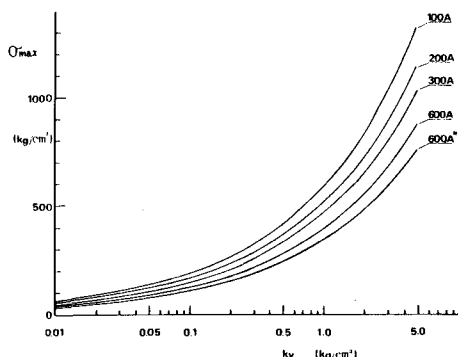


図5 単位地盤変位あたりの最大曲げ応力
($\ell = \ell^*, A = 1 \text{ cm}$)

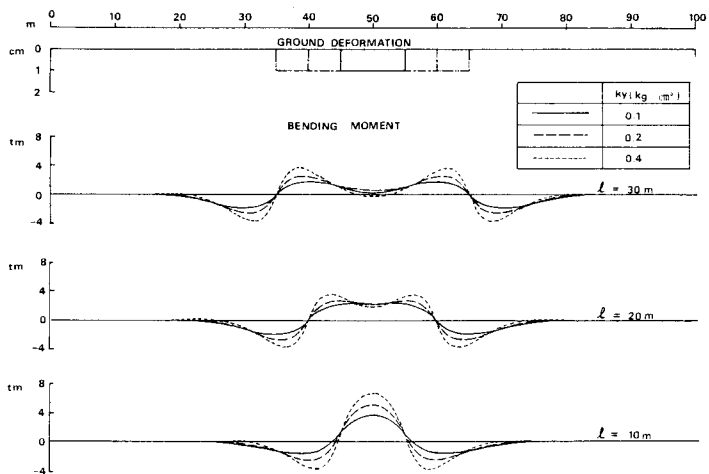


図3 曲げモーメント分布図 ($600A^*, A = 1 \text{ cm}$)

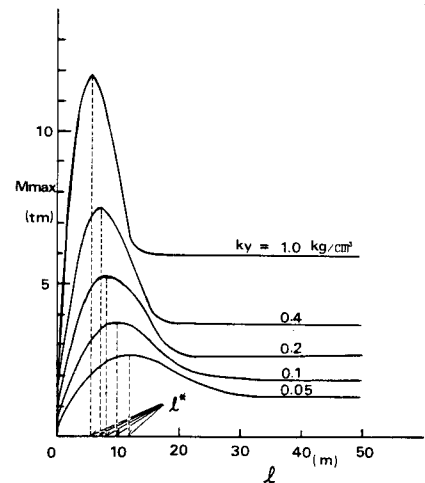


図4 地盤変形幅 ℓ と最大曲げモーメントの関係 ($600A^*, A = 1 \text{ cm}$)

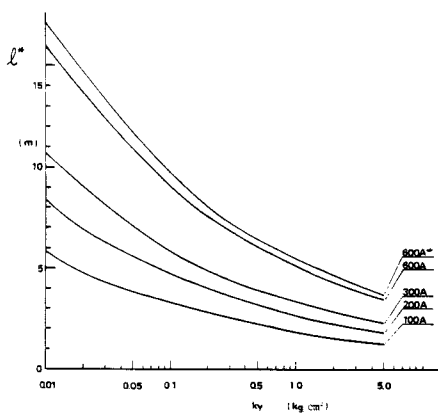


図6 最大曲げ応力を発生させる地盤変形幅 ℓ^*